

Liposzómák terápiás alkalmazásai (szisztemás terápia)

Dr. Voszka István

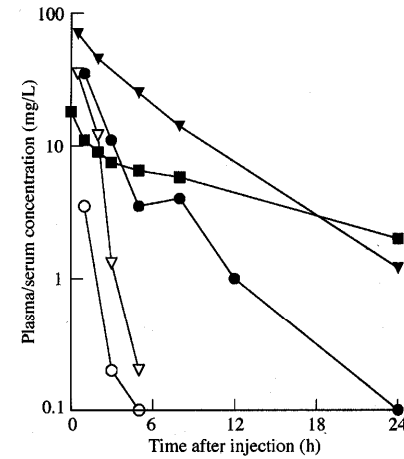
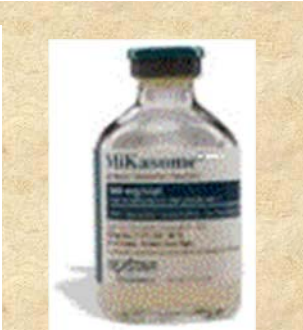


Figure 1. Circulation kinetics of conventional liposome encapsulated aminoglycosides (closed symbols) and free aminoglycosides (open symbols). Aminoglycoside concentrations at indicated time-points after injection of a single dose of gentamicin 20 mg/kg in rats (triangles),⁶⁶ amikacin 40 mg/kg in mice (circles)⁶⁸ or gentamicin 5.1 mg/kg in AIDS patients (squares).⁸⁰

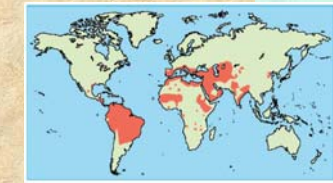


b) Szisztemás alkalmazások

Általában akkor, ha az adott gyógyszernek súlyos mellékhatásai vannak.

1. A RES-t érintő betegségek kezelhetők

C-liposzómába zárt gyógyszerekkel.
Pl. a leishmaniais kezelhető liposzómás antimon-származékokkal



2. Antibiotikumok

Főképp, ha az adott gyógyszer terápiás és toxikus koncentrációja között kicsi a különbség

Liposzómában - a szükséges gyógyszemennyisége lecsökken
- a kezelés hatásfoka javul

Baktériumellenes pl. aminoglikozid típusú antibiotikumok
brucellózis, vesemedence-gyulladás kezelésére (streptomycin,
gentamycin, stb.)

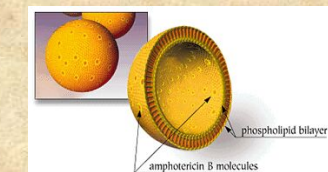
Gombaellenes pl. Amphotericin B
(első törzskönyvezett liposzómás gyógyszerkészítmény – gyári neve
AmBisome®
telített PC / Chol / DSPG (2: 1: 0,8) +
10 mol% AmB ~80 nm-es SUV-okban)

A toxicitás behatárolja az adható mennyiséget. Gyakran a toxikus koncentráció kisebb, mint a minimális terápiás.

Liposzómában kevesebb mellékhatás (mellékhatások: láz, izomfájdalom, thrombophlebitis, vesekárósodás, anaemia)

Feltételezett ok: a liposzómák affinitása sokkal kisebb a humán sejtek koleszterinjéhez, mint a gombasejtek ergoszterinjéhez

Más törzskönyvezett liposzómás Amphotericin B készítmény: Abelcet®



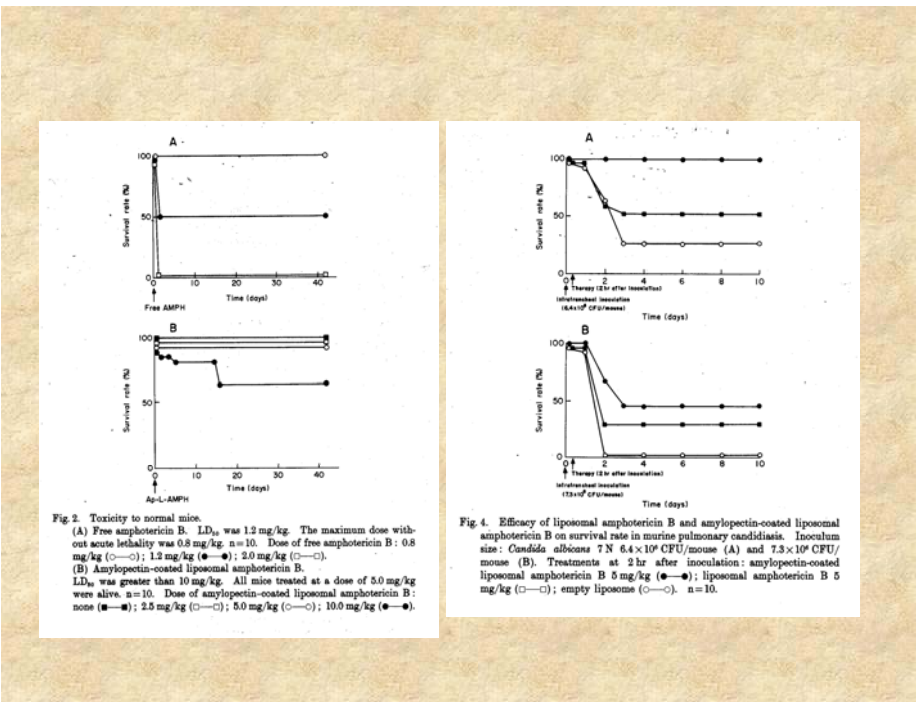
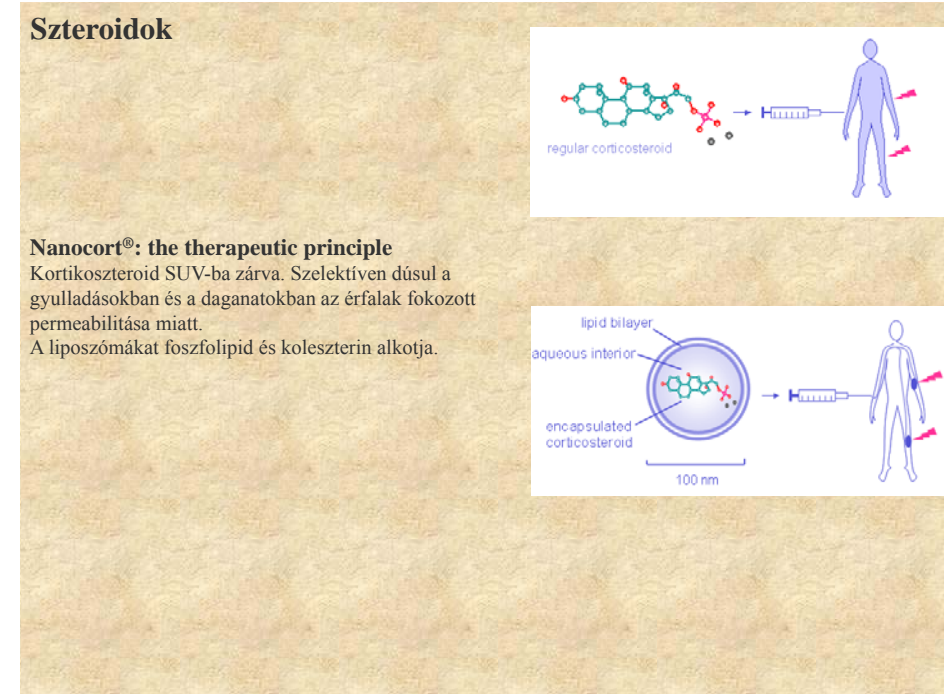
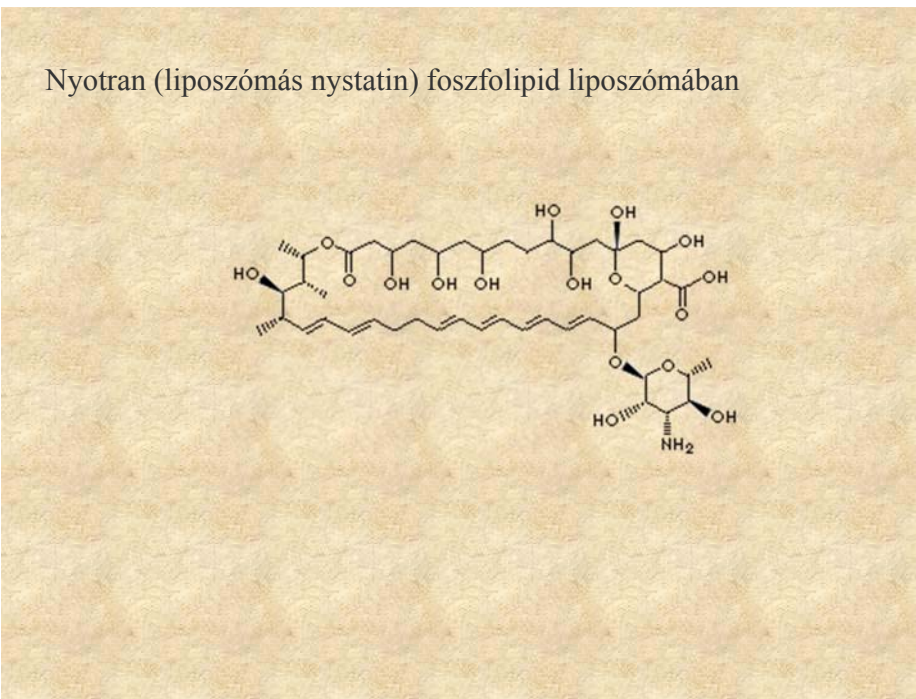
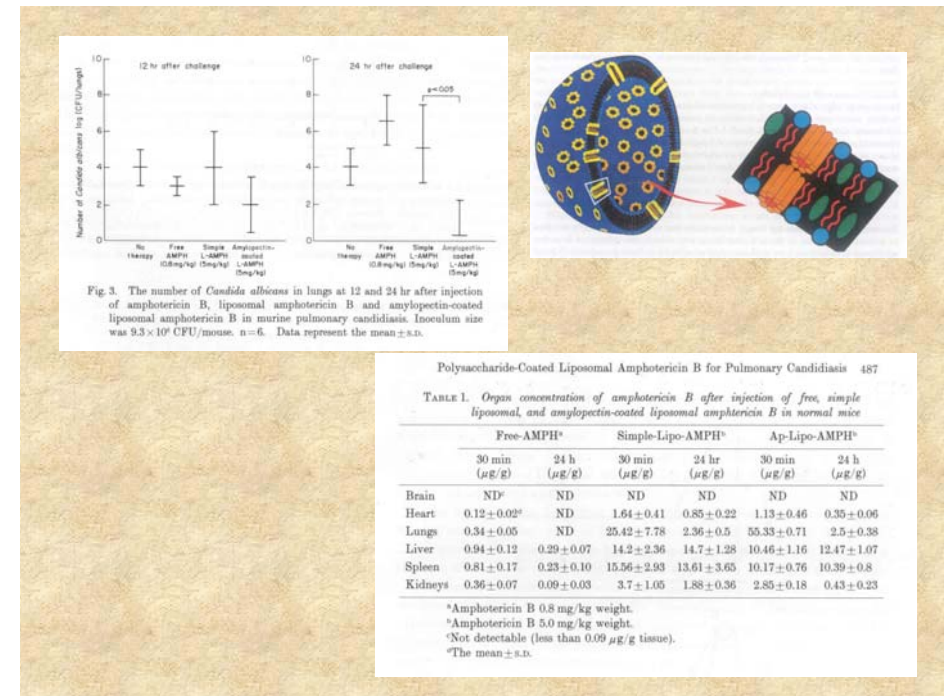


Fig. 4. Efficacy of liposomal amphotericin B and amylopectin-coated liposomal amphotericin B on survival rate in murine pulmonary candidiasis. Inoculum size: *Candida albicans* T N 6.4 × 10⁶ CFU/mouse (A) and 7.3 × 10⁶ CFU/mouse (B). Treatments at 2 hr after inoculation: amylopectin-coated liposomal amphotericin B 5 mg/kg (●—●); liposomal amphotericin B 5 mg/kg (○—○); empty liposomes (○—○). n = 10.



3. Daganatterápia

Liposzómák alkalmazásával csökkenthetők a gyakran igen súlyos mellékhatások

Pl. doxorubicin (Doxyl®, Caelyx®, Myocet®)

- szívizom-károsodás

methotrexate – máj-, vesekárosodás, kopaszság

vincristin (Onco TCS) – perifériás idegek károsodása, kopaszság

Ara-C (DepoCyt®) – csontvelő-, bélfa-károsodás

Daunorubicin (DaunoXome®) – szívizom-, csontvelő-károsodás

Közönséges liposzómák → RES-t érintő daganatok ill. áttétek kezelése

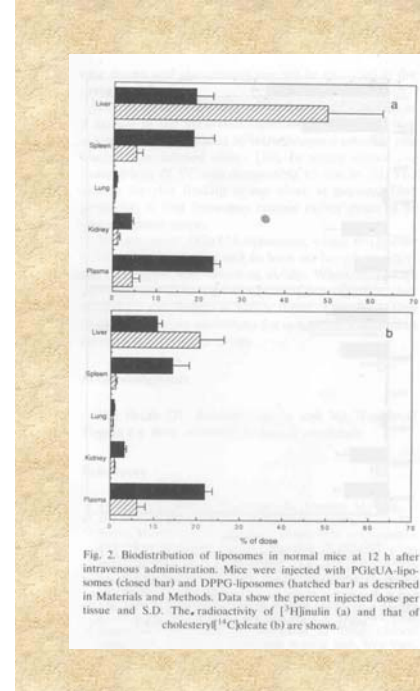
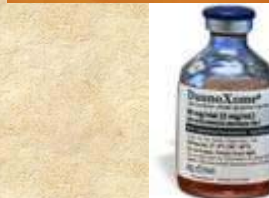


Fig. 2. Biodistribution of liposomes in normal mice at 12 h after intravenous administration. Mice were injected with PGlcUA-liposomes (closed bar) and DPPG-liposomes (hatched bar) as described in Materials and Methods. Data show the percent injected dose per tissue and S.D. The radioactivity of [³H]mulin (a) and that of cholestearyl[¹⁴C]oleate (b) are shown.

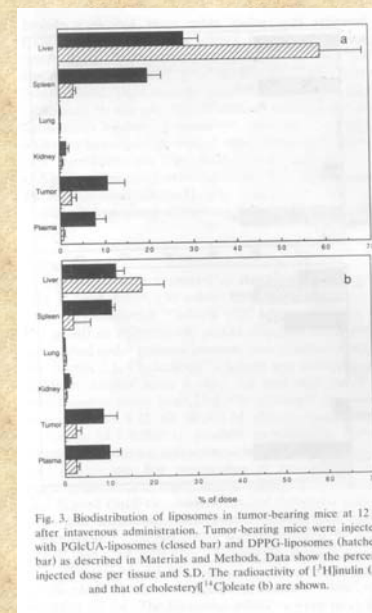


Fig. 3. Biodistribution of liposomes in tumor-bearing mice at 12 h after intravenous administration. Tumor-bearing mice were injected with PGlcUA-liposomes (closed bar) and DPPG-liposomes (hatched bar) as described in Materials and Methods. Data show the percent injected dose per tissue and S.D. The radioactivity of [³H]mulin (a) and that of cholestearyl[¹⁴C]oleate (b) are shown.

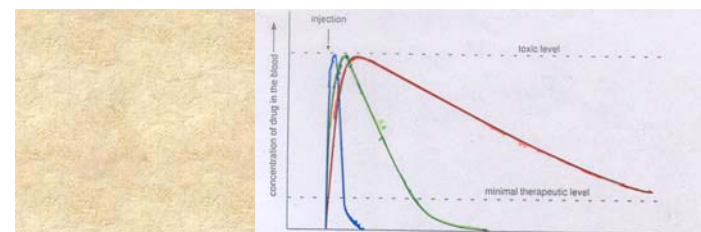
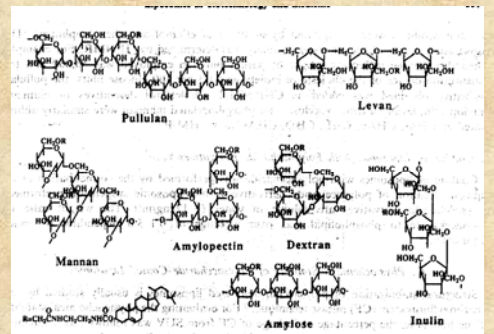
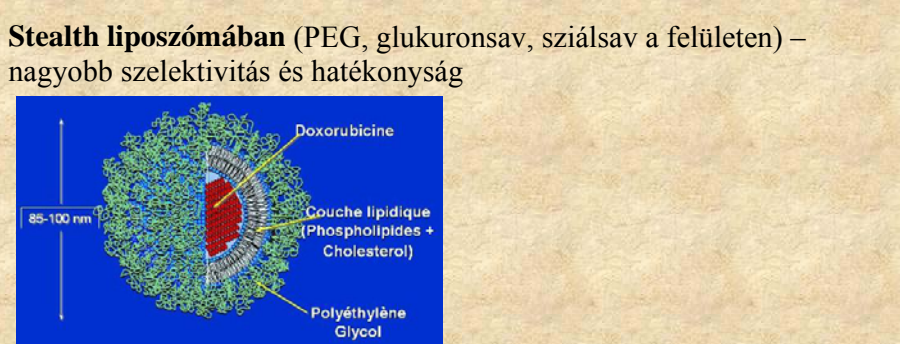


Figure 11. Concentration of a drug injected into the bloodstream depends on the form in which it is delivered: In the case of a free drug, maximum therapeutic but non-toxic level of the drug in the blood for as long as possible. A free drug (without a carrier) is usually present at therapeutic concentrations in the blood for a very short period (blue). Encapsulating the drug within a conventional liposome increases its duration in the blood (green), whereas drugs carried by Stealth liposomes (red) may remain at therapeutic levels hundreds of times longer than a free drug.

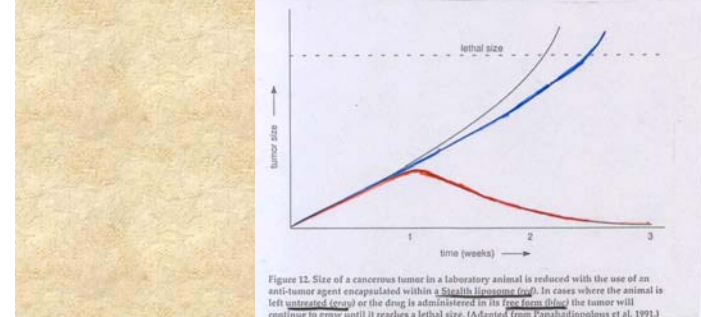
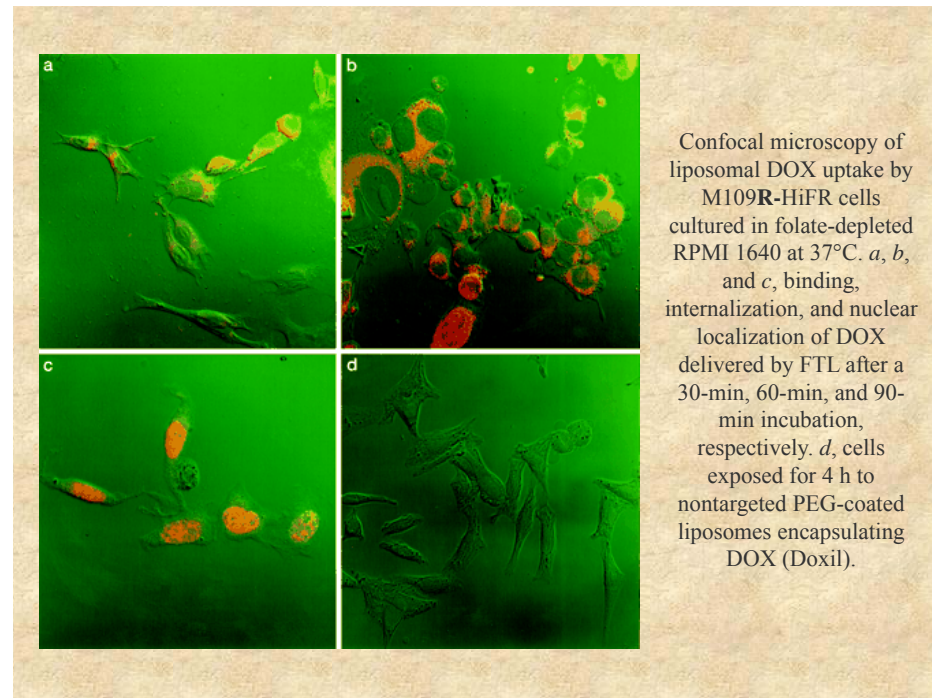
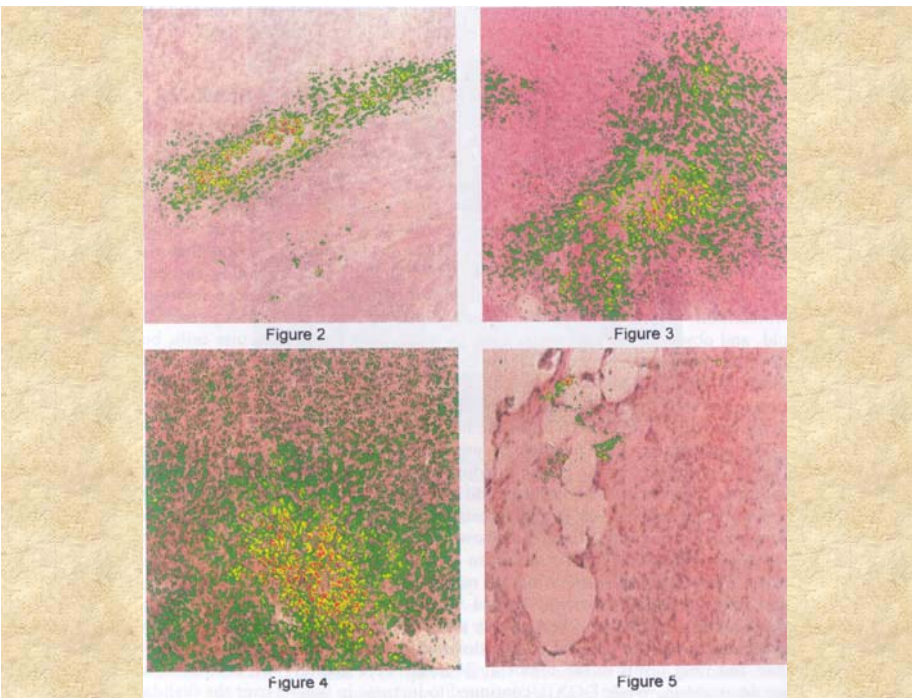
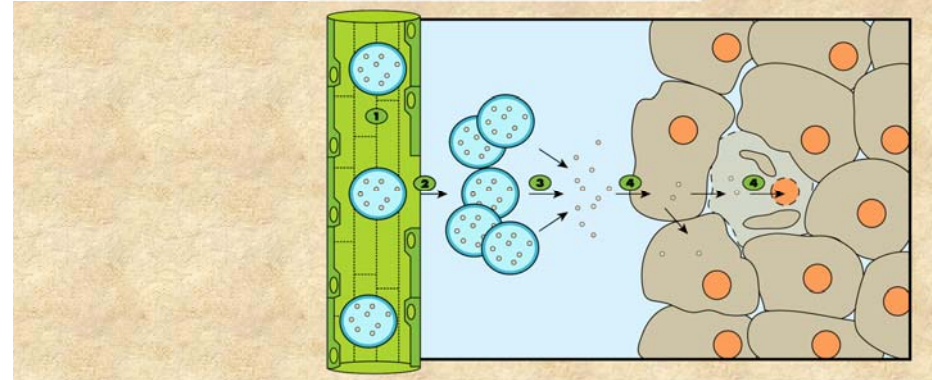
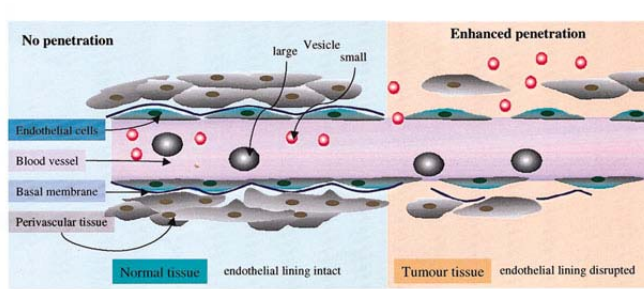
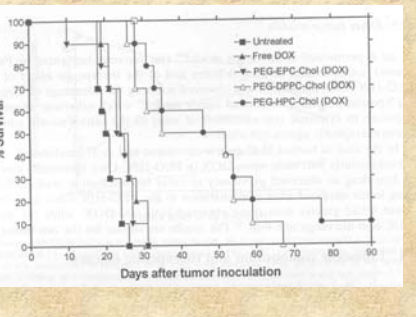
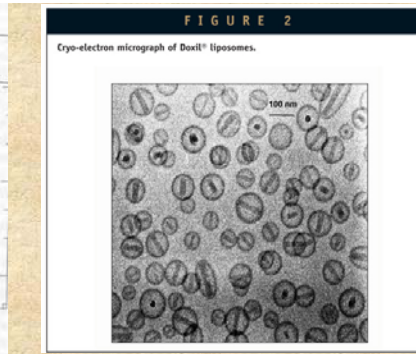
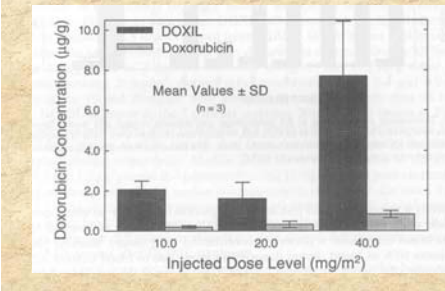
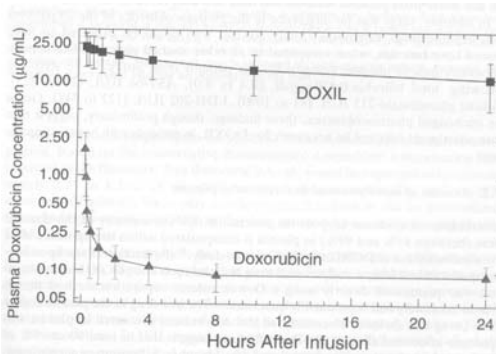


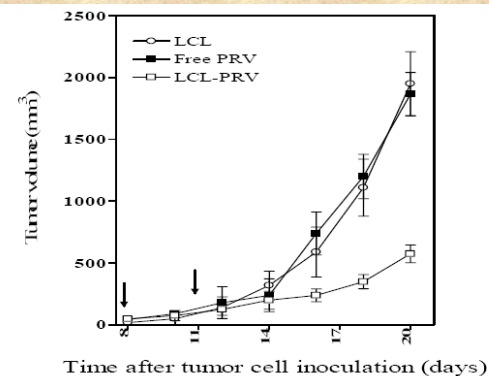
Figure 12. Size of a cancerous tumor in a laboratory animal is reduced with the use of an anti-tumor agent encapsulated within a Stealth liposome (red). In cases where the animal is left untreated (blue) or the drug is administered in its free form (red) the tumor will continue to grow until it reaches a lethal size. (Adapted from Papapadopoulos et al. 1992.)



Sztatinok a tumorterápiában

Sokkal nagyobb dózis szükséges, mint a koleszterinszint csökkentéséhez, ezért célszerű liposzómába zární.
(PRV = pravastatin)

egér melanóma modell



LDL-be zárt citosztatikumok

A daganatsejtek felszíni LDL-receptorainak száma a malignitással arányosan nő → szelektív bejuttatás a daganatba.

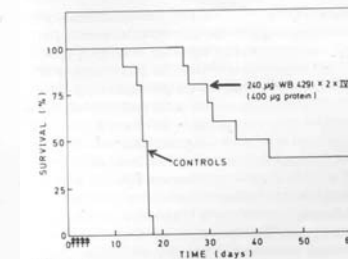
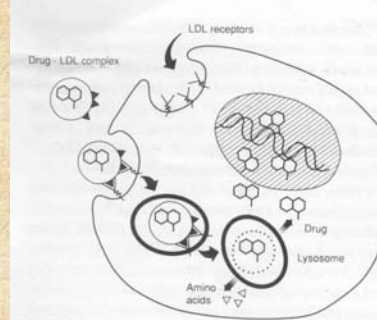
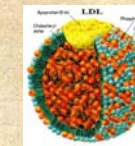


FIGURE 2
Survival of leukemic BALB/c mice after treatment with a WB 4291-LDL complex administered by intraperitoneal injection. The mice were inoculated intraperitoneally on day 0 with 10^6 WEHI-3B cells (a murine myelomonocytic cell line) and the WB 4291-LDL complex was given on days 1-4. There were ten animals in each group. WB 4291 is a highly lipophilic nitrogen mustard derivative. (Reprinted, with permission, from *Br. J. Cancer* 62: 724-729, 1990.)

Immunliposzómák: szelektív kötődés a daganatsejthez. Toxin vagy citosztatikum zárható bele. TNF együttes adása segíti a liposzómák átlépését az erekből a tumorba.

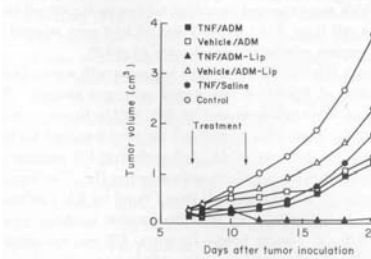
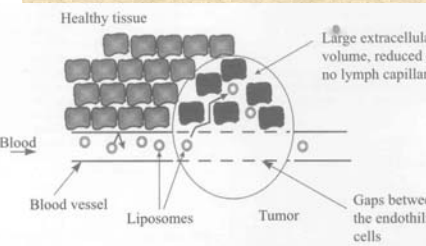
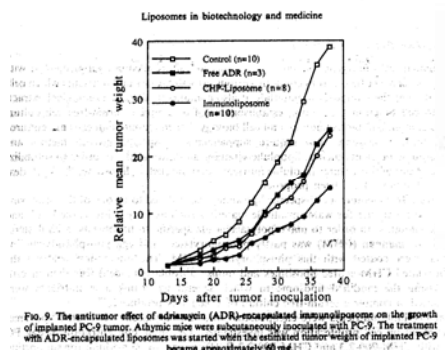


Fig. 3. Effect of TNF pretreatment on the growth inhibitory effect of ADM-Lip. The treatment with TNF and ADM-LIP was performed in 2 cycles at days showing by arrows. (Cited from Ref. of Suzuki et al. 1990).



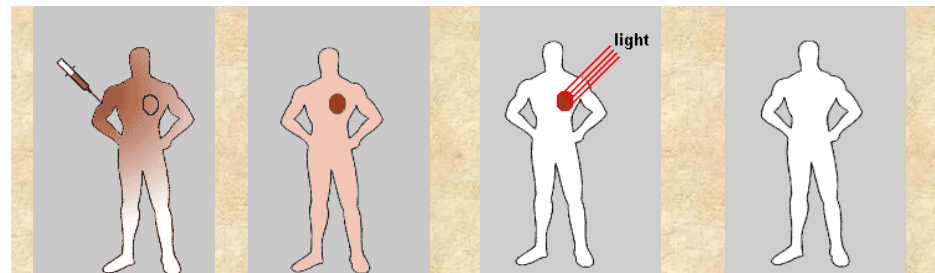
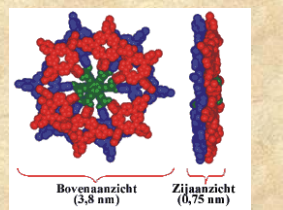
Fig. 2. Effect of injection time schedule of TNF treatment on the distribution to tumor. The indicated time after TNF injection, ADM-Lip were injected. (Cited from Ref. of Suzuki et al. 1990).

Fotodinámiás terápia (PDT)

Fényérzékenyítő anyagot (hematoporfirin, ftalocianin származékok, stb.) juttatnak a tumorsejtekbe. Megvilágítják megfelelő hullámhosszú fénnyel → reaktív oxigéngyökök képződnek → tumorsejtek pusztulása.

A hatás függ a fényérzékenyítő anyag jellemzőitől. Minél hidrofilebb (pl. szulfonált forma) annál inkább a tumorban lokalizálódik. De a daganatpusztító hatás fordítottan arányos a szulfonáltsággal.

Megoldás pl.: a liposzómába zárt fényérzékenyítőt LDL-lel asszociáltatva juttatják a tumorba.



Fényérzékenyítő
bejuttatása

A fényérzékenyítő
felhalmozódása
a daganatban

Besugárzás
látható fénnyel

Szelektív
tumordestrució

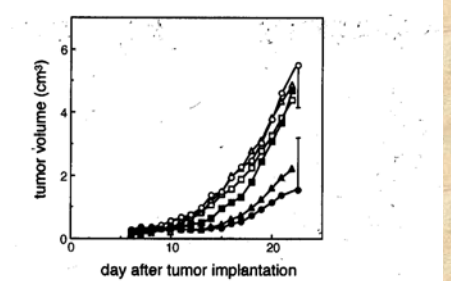
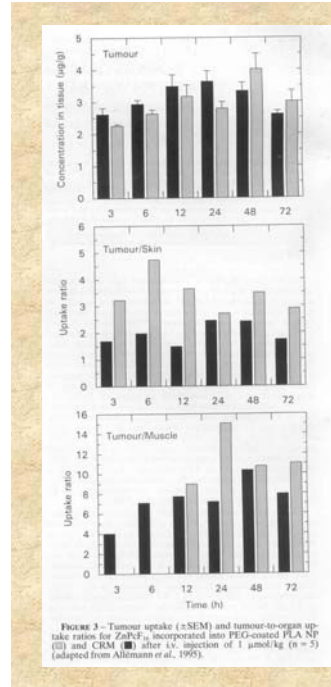
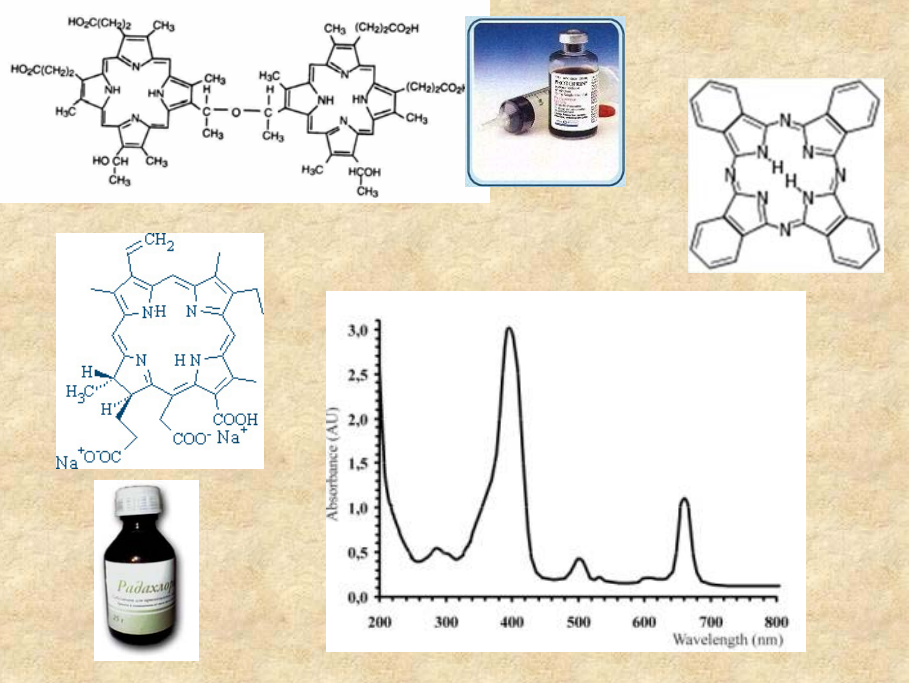
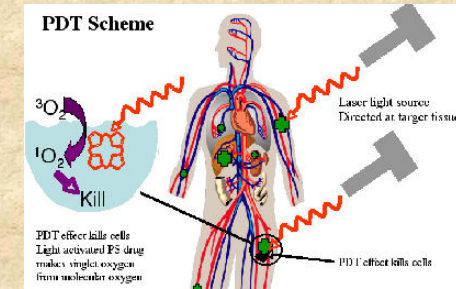
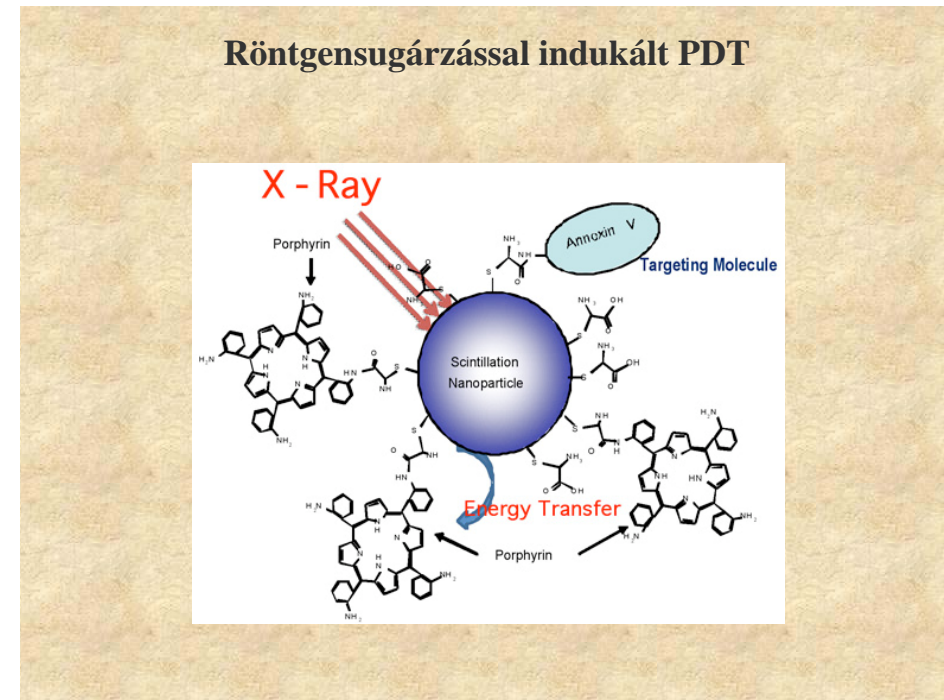
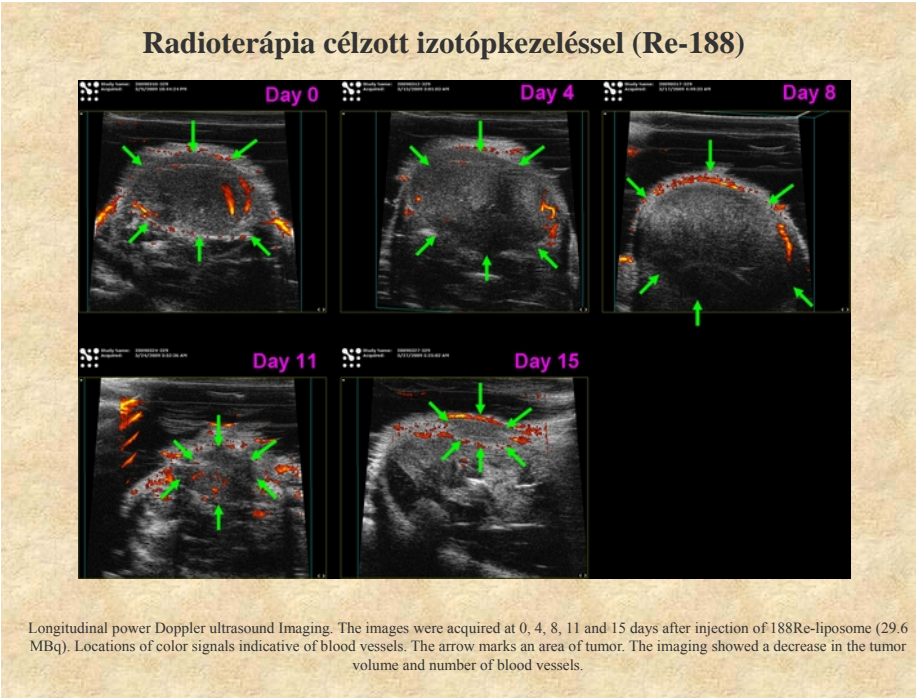
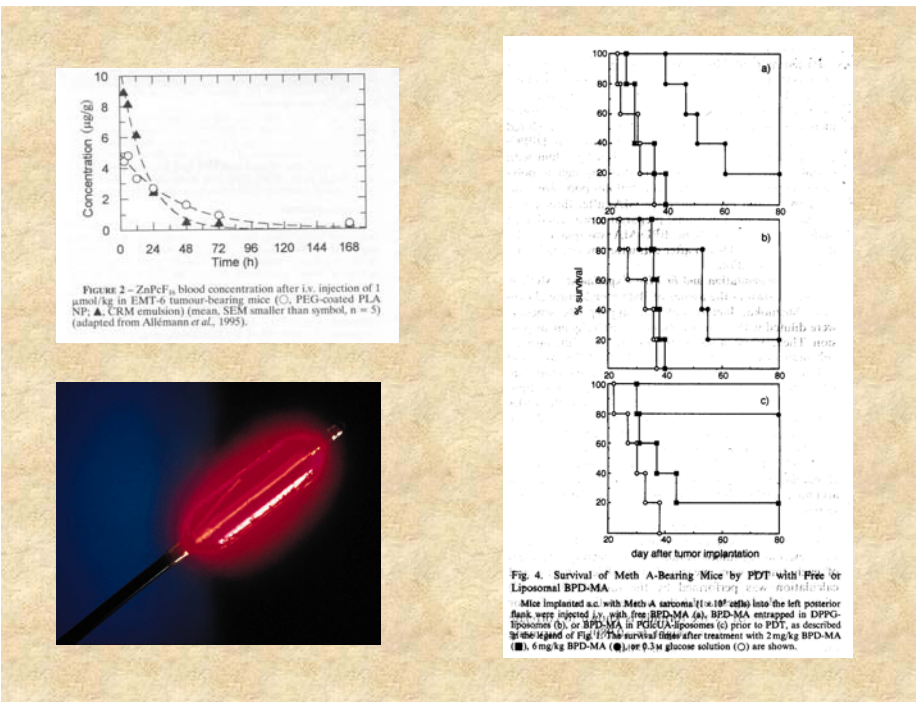


Fig. 1. Suppression of Tumor Growth by Free or Liposomal BPD-MA

Meth A sarcoma (1×10^6 cells/0.2 ml) were carefully implanted subcutaneously into the posterior flank of five-week-old Balb/c male mice. These mice (five per group) were injected i.v. with BPD-MA in PGlcUA-liposomes (●), BPD-MA entrapped in DPPG-liposomes (▲), or free BPD-MA (■), at day 6 after tumor implantation. In each injection, 2 mg/kg BPD-MA was dosed. Mice were kept in the dark for 5 h, and then their tumors were exposed to 690-nm laser light (180 J/cm^2). The tumor volume was determined at the indicated days as described in Materials and Methods. Open symbols show the tumor growth of the control mice injected with 0.3 M glucose solution (□) or with BPD-MA in PGlcUA (○) or DPPG (△) liposomes. S.D. bars are shown only for the last datum points of PGlcUA-liposomal treatment and its control for the sake of graphic clarity.



4.AIDS
 Mind a celluláris (főleg a $CD4^+$ limfociták számának csökkenése miatt) mind a humorális immunválasz csökkent → védekezési képtelenség a fertőzésekkel szemben (opportunitista fertőzések)
 Okozója a HIV vírus – reverz transzkriptázzal rendelkező RNS vírus. A kezelés alapja a reverz transzkriptáz gátlása dezoxinukleozid-analógokkal, melyekben a 3'OH- csoportot H-, azido-, vagy más csoport helyettesíti → nem képeznek foszfodiészter kötést. Hosszú távon alkalmazandók, ezért toxicitásukat figyelembe kell venni. Kombinációjuk célszerű – kevésbé szokik hozzá a vírus, kisebb toxicitás (a purin és pirimidin analógok más-más úton hatnak)
 Pl. 3'-azido-3'-dezoxitimidin (AZT) = zidovudin (ZDV)
 Hosszabb kezelés során csontvelői toxicitása van.
 Liposzómába zárással kivédhető. A plazmában tartózkodás ideje is nő.

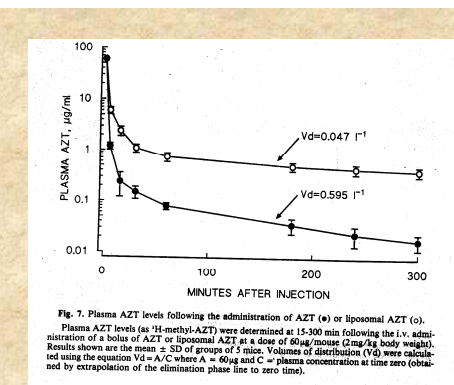


Fig. 7. Plasma AZT levels following the administration of AZT (●) or liposomal AZT (○). Plasma AZT levels (as ^3H -methyl-AZT) were determined at 15–300 min following the i.v. administration of both AZT or liposomal AZT at a dose of 60 µg/mouse (2 mg/kg body weight). Results show the mean \pm S.E.M. of 6–9 mice. * V_d = volume of distribution at time zero (obtained by extrapolation of the elimination phase line to zero time).

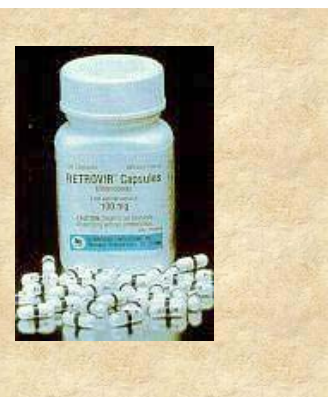


Table III. Tissue distribution of AZT and liposomal AZT.

Tissue	AZT		Liposomal AZT	
	% Injected dose/g tissue ^(a)	DPPC/DMPG	DPPC/PS	DPPC/DMPG
Liver	0.59 \pm 0.06	3.10 \pm 0.21 ^(b)	2.10 \pm 0.13 ^(b)	
Spleen	0.60 \pm 0.10	2.30 \pm 0.08 ^(b)	2.15 \pm 0.12 ^(b)	
Kidney	7.00 \pm 1.45	2.30 \pm 0.41 ^(b)	1.10 \pm 0.08 ^(b)	
Lung	0.30 \pm 0.19	1.90 \pm 0.17 ^(b)	4.60 \pm 0.35 ^(b)	
Muscle	0.40 \pm 0.11	0.50 \pm 0.14	0.45 \pm 0.17	
Brain	0.15 \pm 0.09	0.18 \pm 0.10	0.16 \pm 0.06	
Bone marrow ^(d)	0.02 \pm 0.003	< 0.0001 ^(b)	< 0.0001 ^(b)	
Urine	59.9 \pm 4.8	23.8 \pm 3.6 ^(b)	21.9 \pm 2.7 ^(b)	

^(a)Groups of 5 CD1 mice were treated with AZT (2 mg/kg body weight) or 2.5 µmol liposomes containing AZT (2 mg/kg body weight) spiked in H₂O. DPPC/DMPG liposomes were formulated in the molar ratio 10/1; DPPC/PS liposomes were formulated in the molar ratio 7/3. Tissue distribution was determined 6 h after i.v. injection using a dose volume of 200 µl.

^(b)Significantly different from AZT treatment ($P < 0.01$, Student's *t* test for unpaired data).

^(c)Significantly different from DPPC/DMPG liposomes ($P < 0.01$).

^(d)Results for bone marrow are expressed as percent dose/ 10^9 nucleated cells. The limit of detection using ^3H -methyl-AZT was 2.5 pg AZT.

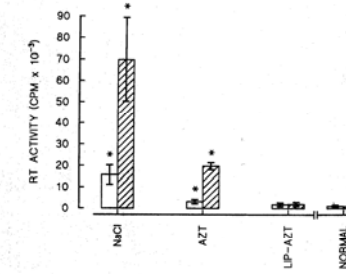


Fig. 10. Effect of treatment with AZT or liposomal AZT on the development of plasma RT activity in LP-BM5-infected C57BL/6 mice.

Groups of 5 LP-BM5-infected mice were treated for 6 weeks as described in the legend to figure 8. Plasma RT activity was determined after 3 and 6 weeks treatment. Blank columns: 3 weeks' treatment; hatched columns: 6 weeks' treatment; * = significantly different from control, mock-infected mice ($P < 0.001$, Student's *t* test for unpaired data).

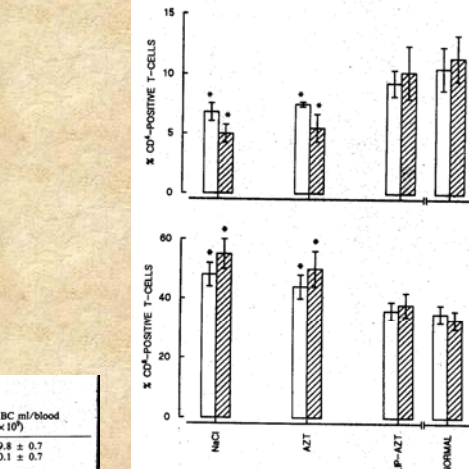


Fig. 9. Effect of treatment with AZT or liposomal AZT on splenic CD4⁺ and CD8⁺ T-cell populations.

Groups of 5 LP-BM5-infected mice were treated for 3 or 6 weeks as described in the legend to figure 8.

Upper panel: proportion of CD4⁺ T cells; lower panel: proportion of CD8⁺ T cells; blank columns: 3 weeks' treatment; hatched columns: 6 weeks' treatment;

* = significantly different from control, mock-infected mice ($P < 0.01$, Student's *t* test for unpaired data).

^aSignificantly different from control treatment ($P < 0.05$, Student's *t* test for unpaired data).

^bSignificantly different from control treatment ($P < 0.01$).

Adjuváns hatás

Adjuváns: bármely ágens, amely nem specifikusan fokozza az immunválaszt egy specifikus antigénnel szemben.
A liposzómák hatékony adjuvánsként működnek, így pl. az AIDS során lecsökkent immunválaszt is fokozzák.

Előnyük:

- nem toxikusak
- egyszerűen előállíthatók
- összetételük szükség szerint változtatható

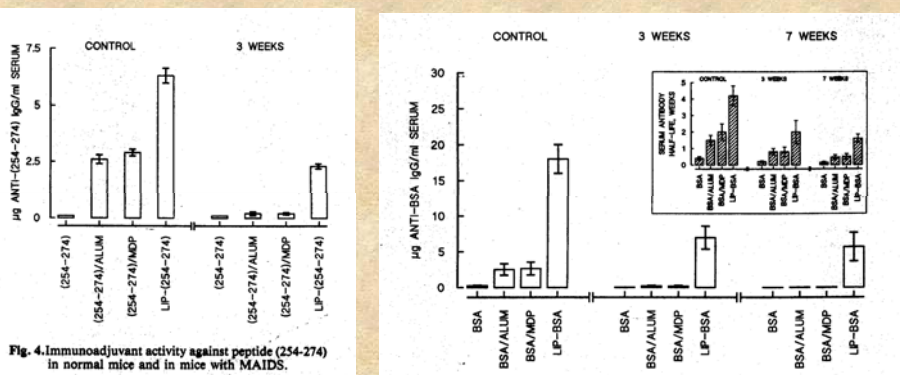


Fig. 4. Immunoadjuvant activity against peptide (254-274) in normal mice and in mice with MAIDS.

5. Vaccinatio

Kihasználható a liposzómák adjuváns hatása (liposzómában bevitt antigénnel az immunválasz fokozható)

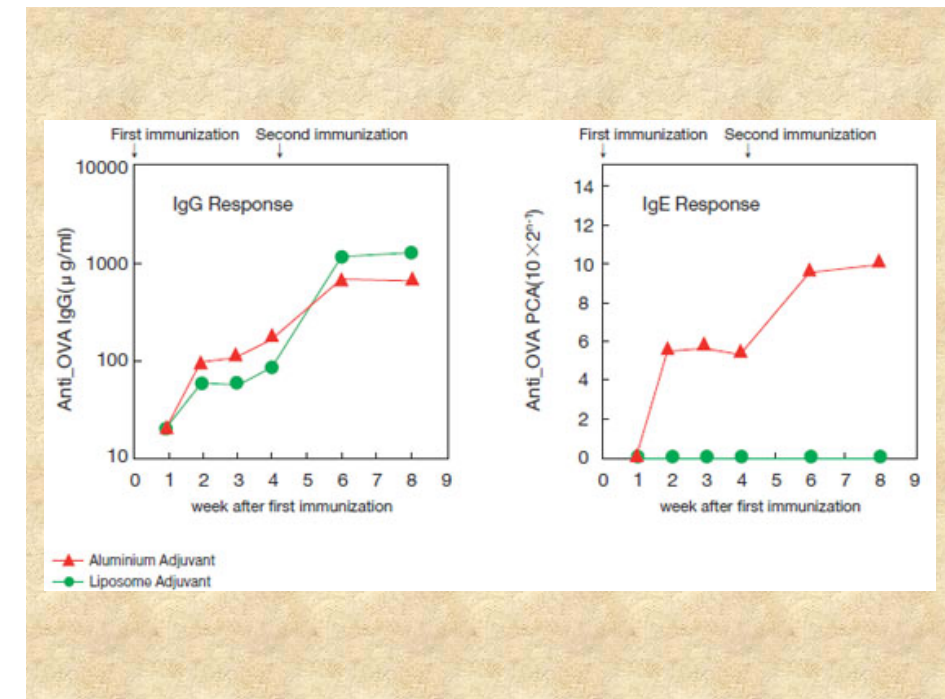
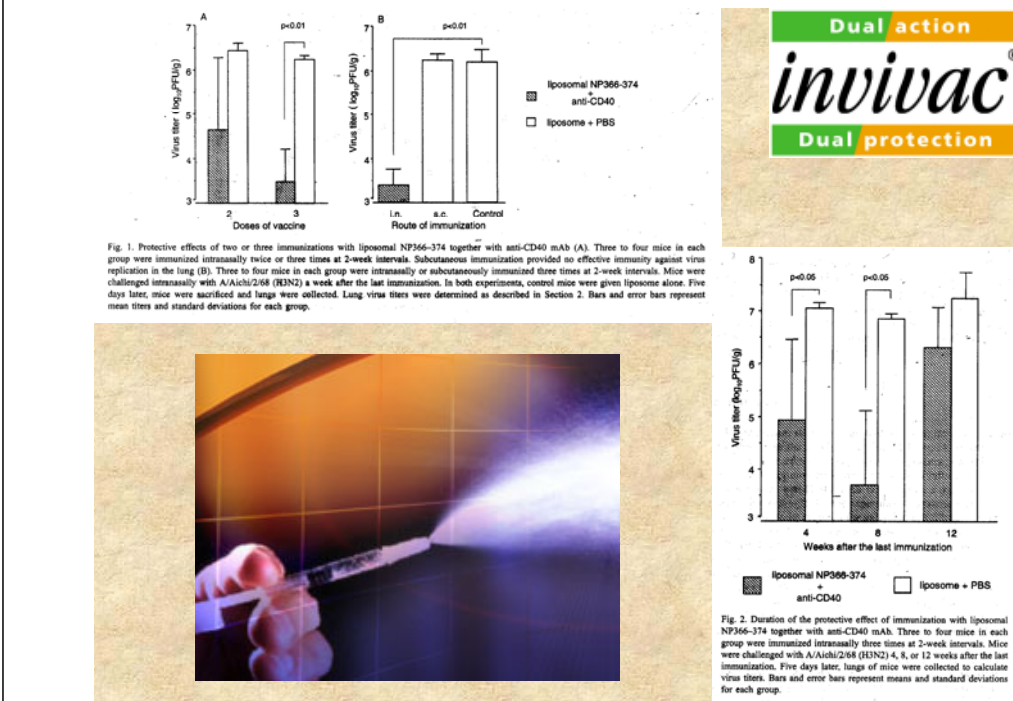
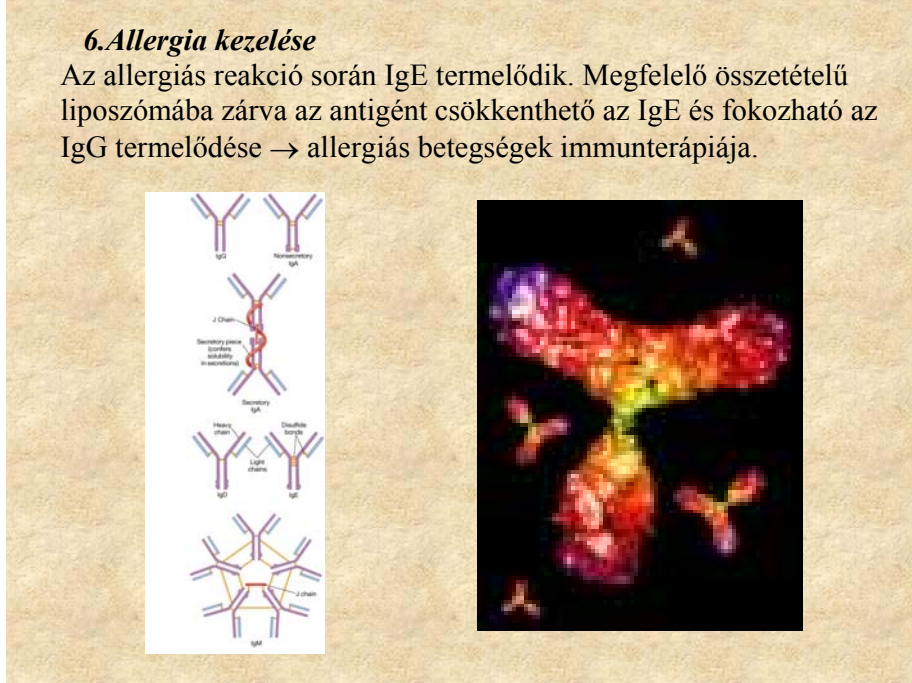
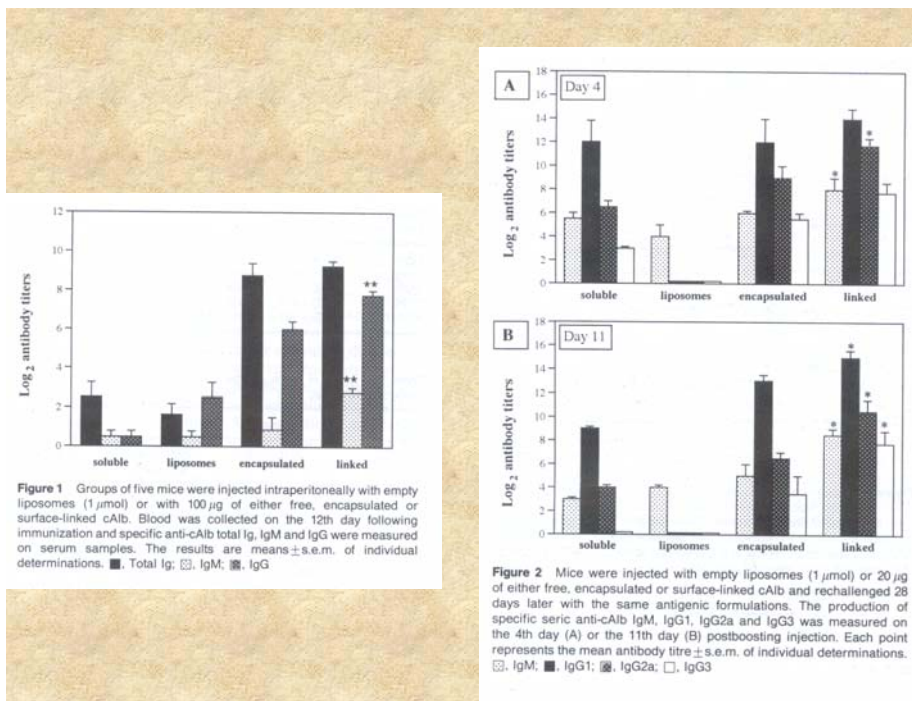
Specifikus antigének zárhatók liposzómába, vagy köthetők a felszínére (a hatás az Ag elhelyezkedésétől függ.)

- Bezárt Ag → rövid távú válasz, főleg IgG1 termelődik.
- Felületen kötött Ag → hosszú távú válasz, IgG1, IgG2a, IgG3, IgM termelődik.

A két esetben a hatásmechanizmus különböző.

Material	Amount used (mg)	Phospholipid used (µmol)	Entrapment (% of used)	
			Peptides	Proteins
Tetanus toxin	2.00	16	40–82	
Bovine serum albumin	2.00	16	40–45	
RIVR	0.05	16	29–31	
A/Sichuan	0.05	16	38–45	
rHBsAg	0.20	16	31–33	
LV39	0.20	16	74–82	
Interleukin-2	Up to 10^6 units	16	60–70	
Poliiovirus 1-VP2 peptide	0.22	16	74–82	
Poliiovirus-VP2 peptide	0.22	16	69–88	
HBsAg S peptide	1.00	~	42–45	
HBsAg pre-S ₁ peptide	1.00	32	46–48	

Note. Materials were entrapped as described in the text. RIVR, reconstituted influenza virus envelopes; A/Sichuan, strain influenza virus hemagglutinin and neuraminidase; rHBsAg, recombinant hepatitis B surface antigen; LV39, *Leishmania major* antigen (mixed isolate); HBsAg, full-length hepatitis B surface antigen synthetic S peptide had a 110–137 amino acid sequence (30); synthetic pre-S₁ peptide, sequence was 15–48 (30).

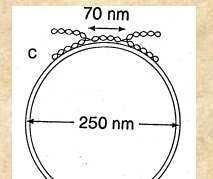
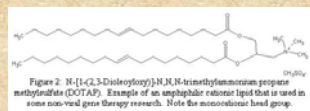


7. Génátvitel

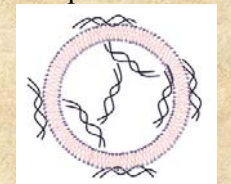
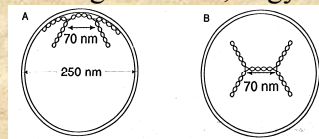
Megvalósítható DNS-darab bezárasa, vagy a liposzóma felszínén való megkötése útján (főleg pozitív töltésű liposzómák esetén)

A kötődés lehet:

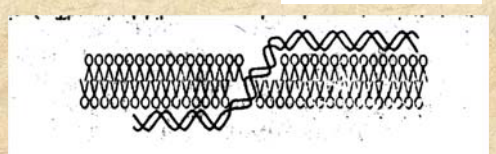
- elektrosztatikus kapcsolódás a külső felszínhez



- a liposzóma üregébe zárva, vagy a belső felszínhez kapcsolódva



- részben belül, részben kívül

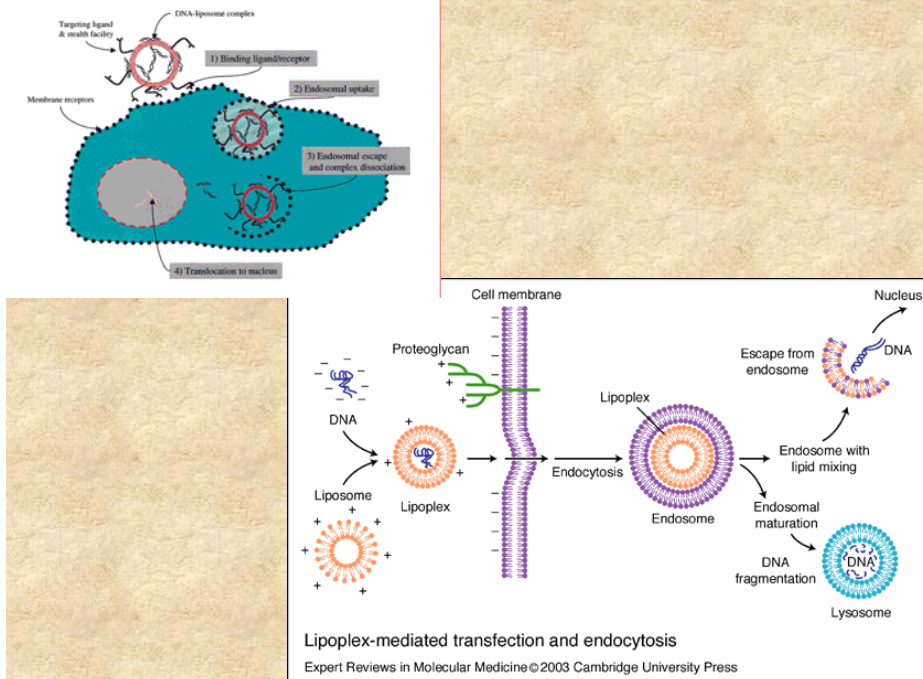
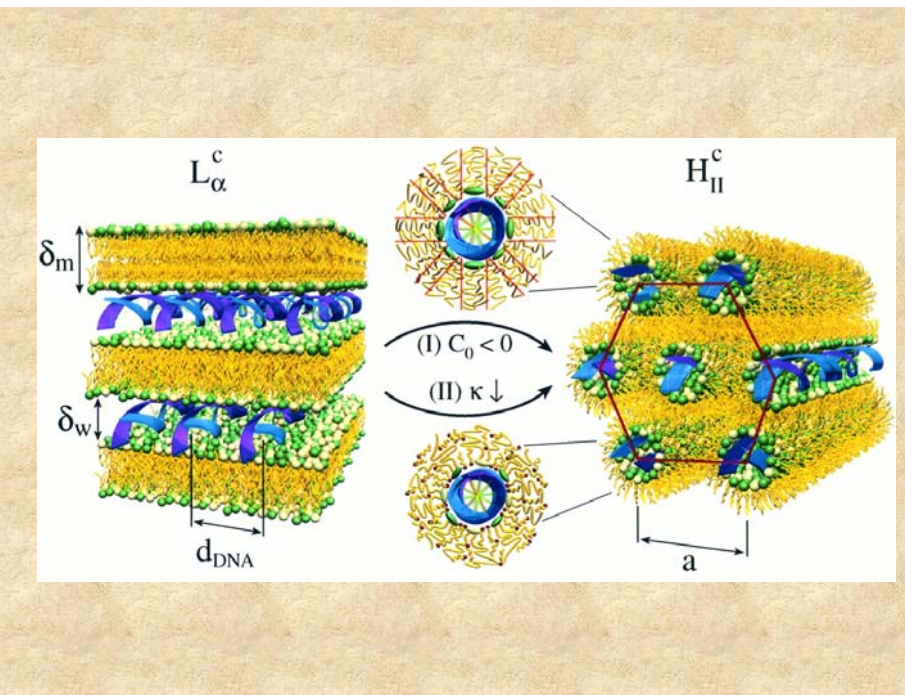
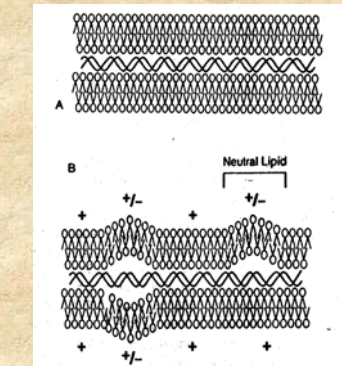
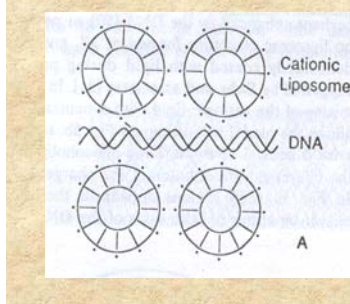


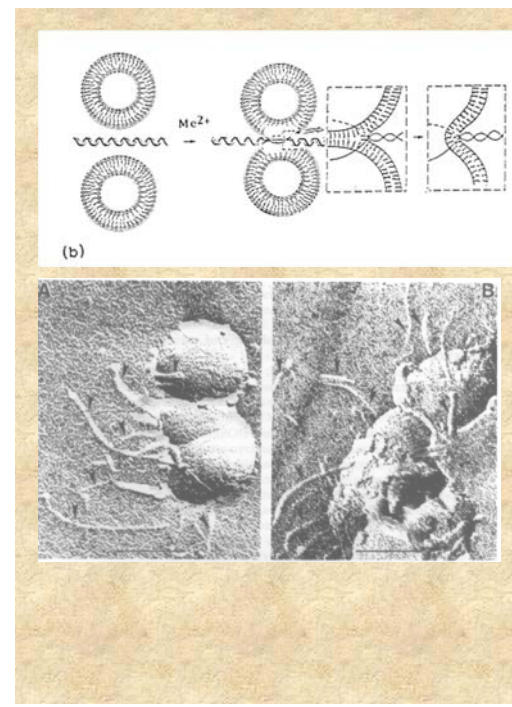
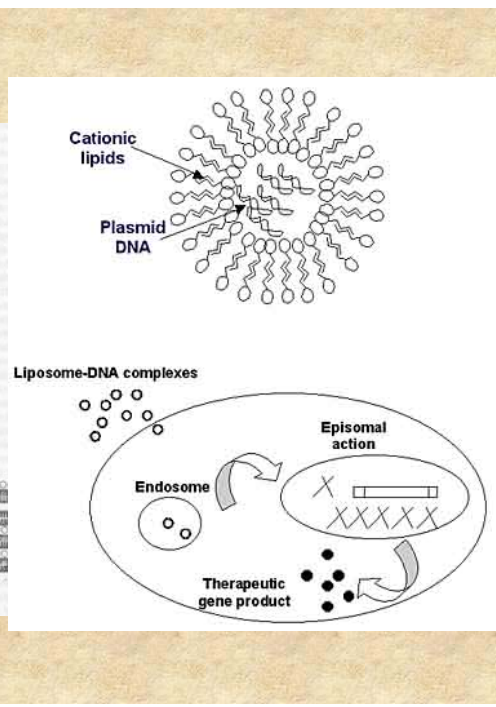
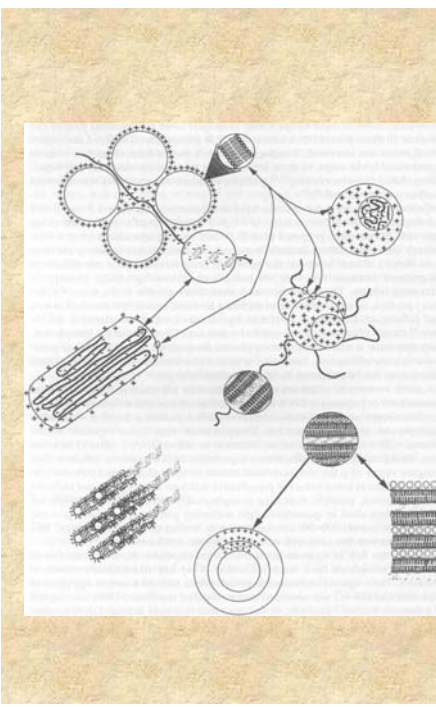
- fúzió során két bilayer közé kerülhet a DNS

A sejtbe juttatáshoz legcélszerűbb a liposzóma és a sejtmembrán fúziójá.

A liposzóma felszíni markereitől függően más-más sejtek vehetik fel, pl. galaktáz – májsejtek; mannóz – fehérvérszövetek

A DOPE általában alkotóeleme az ilyen célú liposzómáknak membrándestabilizáló hatás (ahhoz szükséges, hogy a DNS kiszabaduljon az endoszómából)





	Calcium phosphate precipitation	Direct injection	Retroviral mediated	Lipofection
Viable <i>in vivo</i>	-	+	?	+
Efficient means of delivery	-	+	+	+
Not disruptive to cell membrane	-	-	+	+
Transfects many cell types	+	+	?	+
Non carcinogenic	+	+	-	+
Metabolizable delivery agent	-	-	-	+
Reproducibility	-	+	+	#
Ability to target to specific tissues <i>in vivo</i>	-	+	-	+
Low cost	+	+	-	-